

СЕКЦИЯ IV. ДИНАМИЧЕСКИЕ ПРОЦЕССЫ И СИСТЕМЫ

Председатели: д.т.н., профессор Павлов В.Ф.,
д.ф.-м.н., доцент Дорошин А.В.

УДК 621.787:539.319

Павлов В.Ф., Вакулюк В.С., Декань А.А., Семёнова О.Ю., Матвеева К.Ф.

ОЦЕНКА ВЛИЯНИЯ ПОВЕРХНОСТНОГО УПРОЧНЕНИЯ НА МНОГОЦИКЛОВУЮ УСТАЛОСТЬ ПРИ РАЗЛИЧНЫХ КОНЦЕНТРАТОРАХ НАПРЯЖЕНИЙ

В повышении сопротивления усталости поверхностно упрочнённых деталей с концентраторами напряжений основную роль играют сжимающие остаточные напряжения [1]. Для учёта влияния поверхностного упрочнения на приращение предела выносливости деталей применяются два критерия. Первым критерием являются остаточные напряжения на поверхности концентратора. Зависимость для определения приращения предела выносливости $\Delta P_R(\Delta\sigma_R, \Delta\tau_R)$ упрочнённой детали с концентратором напряжений в этом случае имеет следующий вид:

$$\Delta P_R = \psi_P \cdot |\sigma_z^{ноб}|, \quad (1)$$

где $\psi_P(\psi_\sigma, \psi_\tau)$ – коэффициент влияния поверхностного упрочнения на приращение предела выносливости детали по критерию $\sigma_z^{ноб}$, $\sigma_z^{ноб}$ – осевые (меридиональные) остаточные напряжения на поверхности концентратора опасного сечения детали.

Для определения второго критерия в исследовании [2] было использовано аналитическое решение задачи [3] о вычислении дополнительных остаточных напряжений в наименьшем сечении упрочнённой детали после нанесения на неё надреза полуэллиптической формы. Выделив основную часть решения задачи [3], был получен второй критерий $\bar{\sigma}_{осм}$ – критерий среднеинтегральных остаточных напряжений в следующем виде:

$$\bar{\sigma}_{осм} = \frac{2}{\pi} \cdot \int_0^1 \frac{\sigma_z(\xi)}{\sqrt{1-\xi^2}} d\xi, \quad (2)$$

где $\sigma_z(\xi)$ – осевые (меридиональные) остаточные напряжения в опасном сечении упрочнённой детали, $\xi = y/t_{кр}$ – расстояние от дна концентратора до текущего слоя, выраженное в долях $t_{кр}$ (рис. 1), $t_{кр}$ – критическая глубина нераспространяющейся трещины усталости, возникающей при работе детали (образца) при напряжении, равном пределу выносливости.

Приращение предела выносливости $\Delta P_R(\Delta\sigma_R, \Delta\tau_R)$ упрочнённой детали при использовании критерия $\bar{\sigma}_{осм}$ определяется по следующей формуле:

$$\Delta P_R = \bar{\psi}_P \cdot |\bar{\sigma}_{ocm}|, \quad (3)$$

где $\bar{\psi}_P$ ($\bar{\psi}_\sigma, \bar{\psi}_\tau$) – коэффициент влияния поверхностного упрочнения на предел выносливости по критерию $\bar{\sigma}_{ocm}$.

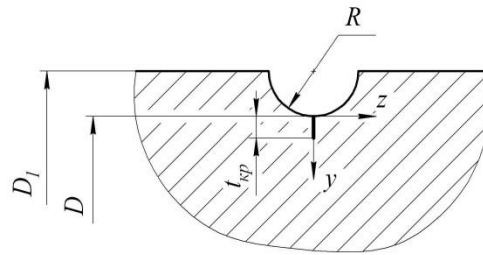


Рис.1. Опасное сечение детали и нераспространяющаяся трещина усталости

В монографии [4] для упрочнённых различными методами деталей и образцов из различных материалов с различными концентраторами напряжений при растяжении-сжатии, изгибе и кручении было экспериментально установлено, что критическая глубина t_{kp} нераспространяющейся трещины усталости зависит только от размеров опасного поперечного сечения и для цилиндрических деталей и образцов определяется следующим соотношением:

$$t_{kp} = 0,0216D, \quad (4)$$

где D – диаметр опасного сечения детали (рис. 1).

В настоящем исследовании гладкие цилиндрические образцы из стали 20 диаметром $D_1 = 50$ мм обкатывались роликом при усилиях $P = 0,5$ кН (ОР1) и $P = 1,0$ кН (ОР2). Затем на неупрочнённые и упрочнённые гладкие образцы наносились профильными резцами круговые надрезы полукруглого профиля радиусов $R = 0,3$ мм, $R = 0,5$ мм и $R = 1,0$ мм.

Остаточные напряжения в гладких образцах определялись методом колец и полосок [5, 6]. Распределение осевых σ_z остаточных напряжений по глубине поверхностного слоя a гладких образцов приведено на рис. 2, а. Из данных рис. 2, а следует, что сжимающие остаточные напряжения и глубина их залегания с увеличением усилия обкатки повышаются.

Остаточные напряжения в образцах с надрезами различной глубины определялись расчётным путём – суммированием дополнительных остаточных напряжений за счёт перераспределения остаточных усилий при нанесении надрезов и остаточных напряжений гладких образцов. Дополнительные остаточные напряжения определялись как аналитическим [3], так и численными методами. Эпюры осевых σ_z остаточных напряжений по толщине поверхностного слоя a в наименьшем сечении образцов с надрезами $R = 0,3$ мм и $R = 0,5$ мм приведены на рис. 2, б, а величины остаточных напряжений на поверхности дна надрезов $\sigma_z^{ноб}$ представлены в табл. 1.

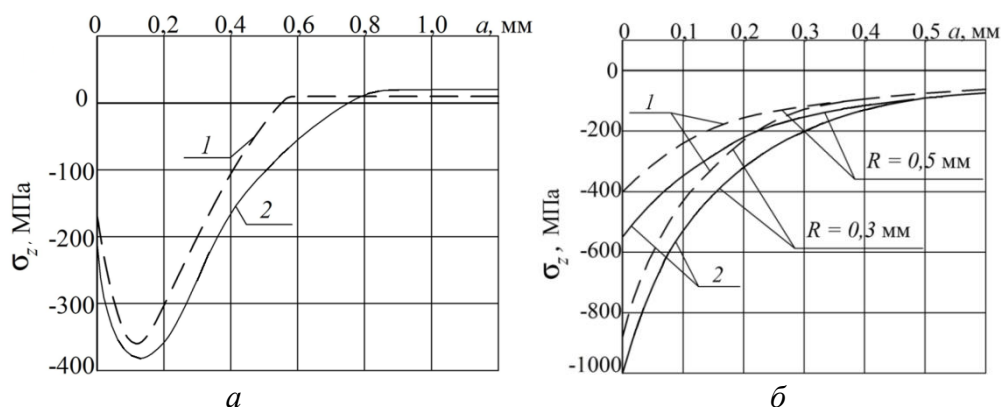


Рис. 2. Осевые σ_z остаточные напряжения в упрочнённых гладких образцах (а) и в образцах с надрезами (б) после: 1 – ОР1; 2 – ОР2

Испытания неупрочнённых и упрочнённых образцов с надрезами и напескованной втулкой на усталость при изгибе в случае симметричного цикла проводились на машине УМП-02; база испытаний – $3 \cdot 10^6$ циклов нагружения. Результаты определения предела выносливости σ_{-1} образцов представлены в табл. 1. Упрочнённые роликом образцы, выстоявшие базу испытаний при напряжении, равном пределу выносливости, доводились до разрушения при бóльших напряжениях. На поверхности изломов этих образцов были видны нераспространяющиеся трещины усталости, критическая глубина $t_{кр}$ которых соответствует формуле (4) и приведена в табл. 1.

Из представленных в табл. 1 данных следует, что оценка влияния поверхностного упрочнения на приращение предела выносливости образцов по первому критерию $\sigma_z^{нов}$ – остаточным напряжениям на поверхности концентратора – приводит к существенному рассеянию соответствующего коэффициента ψ_σ . Этот коэффициент в проведённом исследовании изменяется в широких пределах: от 0,033 до 0,147, то есть изменяется в 4,5 раза, что недопустимо для оценки приращения предела выносливости поверхностно упрочнённых деталей. Оценка влияния поверхностного упрочнения по критерию среднеинтегральных остаточных напряжений $\bar{\sigma}_{ост}$ приводит к значительно мёньшему рассеянию соответствующего коэффициента $\bar{\psi}_\sigma$, который в настоящем исследовании изменяется от 0,305 до 0,380, составляя в среднем 0,342.

В работе [7] на основании многочисленных экспериментальных данных была выявлена зависимость между коэффициентом влияния $\bar{\psi}_\sigma$ поверхностного упрочнения на приращение предела выносливости при изгибе по критерию $\bar{\sigma}_{ост}$ и действительным коэффициентом концентрации напряжений K_σ в виде

$$(\bar{\psi}_\sigma)_{расч} = 0,514 - 0,065 K_\sigma. \quad (5)$$

В табл. 1 представлены значения коэффициента K_σ , а также расчётные величины коэффициента $(\bar{\psi}_\sigma)_{расч}$. Из представленных данных следует, что опытные значения коэффициента $\bar{\psi}_\sigma$ для каждого радиуса надреза и напессованной втулки незначительно отличаются от расчётных значений $(\bar{\psi}_\sigma)_{расч}$, определённых по формуле (5).

Таблица 1. Результаты испытаний образцов с надрезами и напессованной втулкой на усталость и определения остаточных напряжений

Концентратор	Неупроч. образцы σ_{-1} , МПа	Упрочнённые образцы							K_σ	$(\bar{\psi}_\sigma)_{расч}$
		обработ-ка	σ_{-1} , МПа	$\sigma_z^{ног}$, МПа	ψ_σ	$t_{кр}$, мм	$\bar{\sigma}_{ост}$, МПа	$\bar{\psi}_\sigma$		
надрез $R = 0,3$ мм	87,5	ОР1	117,5	-898	0,033	1,040	-94	0,322	2,86	0,328
		ОР2	130	-1004	0,042	1,110	-128	0,332		
надрез $R = 0,5$ мм	92,5	ОР1	122,5	-396	0,078	1,077	-82	0,366	2,47	0,353
		ОР2	132,5	-547	0,073	1,024	-112	0,357		
надрез $R = 1,0$ мм	92,5	ОР1	110	-126	0,139	1,073	-46	0,380	2,32	0,363
		ОР2	115	-166	0,136	1,035	-62	0,363		
напессованная втулка	87,5	ОР1	107,5	-180	0,111	1,02	-64	0,313	2,97	0,321
		ОР2	112,5	-170	0,147	1,14	-82	0,305		

Таким образом, в проведённом исследовании установлено, что для оценки предела выносливости поверхностно упрочнённых образцов (деталей) с различными концентраторами напряжений наиболее оправдано использование критерия среднеинтегральных остаточных напряжений $\bar{\sigma}_{ост}$.

Библиографический список

1. Иванов, С.И. Влияние остаточных напряжений и наклёпа на усталостную прочность / С.И. Иванов, В.Ф. Павлов // Проблемы прочности. – 1976. – №5. – С. 25-27.
2. Павлов, В.Ф. О связи остаточных напряжений и предела выносливости при изгибе в условиях концентрации напряжений / В.Ф. Павлов // Известия вузов. Машиностроение. – 1986. – №8. – С. 29-32.
3. Иванов, С.И. Влияние остаточных напряжений на выносливость образцов с надрезом / С.И. Иванов, М.П. Шатунов, В.Ф. Павлов // Вопросы прочности элементов авиационных конструкций. – Куйбышев: КуАИ. – 1974. – Вып.1. – С. 88-95.
4. Павлов, В.Ф. Прогнозирование сопротивления усталости поверхностно упрочнённых деталей по остаточным напряжениям / В.Ф. Павлов, В.А. Кирпичёв, В.С. Вакулюк. – Самара: Издательство СНЦ РАН, 2012. – 125 с.
5. Иванов, С.И. К определению остаточных напряжений в цилиндре методом колец и полосок / С.И. Иванов // Остаточные напряжения. – Куйбышев: КуАИ, 1971. – Вып. 53. – С. 32-42.
6. Иванов, С.И. Определение остаточных напряжений в поверхностном слое цилиндра / С.И. Иванов // Вопросы прочности элементов авиационных конструкций. – Куйбышев: КуАИ. – 1971. – Вып. 48. – С. 139-152.
7. Кирпичёв, В.А. Прогнозирование предела выносливости поверхностно упрочнённых деталей при различной степени концентрации напряжений / В.А. Кирпичёв, А.С. Букатый, А.П. Филатов, А.В. Чирков // Вестник УГАТУ. – 2011. – Т.15. – №4 (44). – С. 81-85.